

مجله علوم و صنایع غذایی ایران

سایت مجله: www.fsct.modares.ac.ir



مقاله علمی_پژوهشی

بررسی ویژگی های فیزیکی فیلم پلی لاکتیک اسید نشانگر شده با آنتوسيانین های استخراج شده از کلم قرمز و چغندر لبویی

لیلا علیزاده^۱، نفیسه چهانبخشیان^{۲*}، محمدحسین عزیزی^۳، رضوان موسیوی ندوشن^۰، مرتضی احسانی^۱

۱- دانشجوی دکتری، گروه علوم و صنایع غذایی، دانشگاه آزاد اسلامی واحد تهران شمال، تهران، ایران.

۲- استادیار، گروه علوم و صنایع غذایی، دانشگاه آزاد اسلامی واحد تهران شمال، تهران، ایران.

۳- استادیار، گروه علوم و صنایع غذایی، دانشگاه آزاد اسلامی، واحد شهرکرد، شهرکرد، ایران.

۴- استاد تمام، گروه علوم و صنایع غذایی، دانشگاه تربیت مدرس، تهران، ایران.

۵- دانشیار، گروه علوم و صنایع غذایی، دانشگاه آزاد اسلامی واحد تهران شمال، تهران، ایران.

۶- استاد، پژوهشگاه پلیمر و پتروشیمی ایران، تهران، ایران.

چکیده

اطلاعات مقاله

تاریخ های مقاله :

تاریخ دریافت: ۱۴۰۱/۰۱/۳۰

تاریخ پذیرش: ۱۴۰۱/۰۴/۱۵

کلمات کلیدی:

فیلم هوشمند،

پلی لاکتیک اسید،

آنتوسيانین،

چغندر لبویی،

کلم قرمز.

در تحقیق حاضر ویژگی های فیلم نشانگر پلی لاکتیک اسید و آنتوسيانین های استخراج شده از کلم قرمز و چغندر لبویی مورد بررسی قرار گرفت به طوری که نمونه های فیلم ۱ (پلی لاکتیک اسید فاقد آنتوسيانین)، ۲ (پلی لاکتیک اسید حاوی آنتوسيانین کلم قرمز)، ۳ (پلی لاکتیک اسید حاوی آنتوسيانین چغندر لبویی) و ۴ (پلی لاکتیک اسید حاوی آنتوسيانین چغندر لبویی و کلم قرمز) تهیه شدند و آزمون های خصامت، حلالیت، خواص مکانیکی (میزان کشش پذیری، مقاومت به کشش، مدول الاستیک) و تغییرات مولفه های رنگی روی آنها صورت پذیرفت. نتایج نشان داد که اختلاف آماری معنی داری در ضخامت نمونه های فیلم ملاحظه نشد ($p > 0.05$). بالاترین حلالیت متعلق به نمونه شاهد (فیلم ۱) و پائین ترین میزان حلالیت متعلق به نمونه ۴ بود. نتایج آزمون های مکانیکی نشان داد که بالاترین افزایش طول در شکست متعلق به نمونه های ۳ و ۴ و پائین ترین افزایش طول در شکست متعلق به نمونه ۱ بود ($p \leq 0.05$). همچنین پائین ترین مقاومت به کشش و مدول یانگ متعلق به نمونه ۱ بود ($p \leq 0.05$). در تمامی نمونه های فیلم به جز نمونه ۱، با افزایش pH (تا $\text{pH}=14$)، مولفه رنگی L^* نمونه ها به طور معنی داری افزایش یافت ($p \leq 0.05$). همچنین در تمامی pH های مورد بررسی، نمونه ۱ دارای بالاترین مولفه رنگی L^* و نمونه ۳ دارای پائین ترین مولفه رنگی L^* بود ($p \leq 0.05$). مولفه رنگی a^* در نمونه ۳، در pH=1-6، روند افزایشی و سپس تا pH=14 روند کاهشی داشت ($p \leq 0.05$). در نمونه های ۲ و ۴ در pH=1-13، روند کاهشی و سپس تا pH=14 روند افزایشی ملاحظه شد ($p \leq 0.05$). در نمونه ۳، تا pH=6، روند افزایشی و سپس از آن تا pH=14 روند کاهشی ملاحظه شد ($p \leq 0.05$). در مولفه رنگی b^* نمونه ۲، ابتدا در pH=1-12، روند کاهشی و سپس تا pH=14 روند افزایشی ملاحظه شد ($p \leq 0.05$). مولفه رنگی b^* نمونه ۳ در pH=1-11، در نمونه ۴ در pH=1-12، روند کاهشی و مجدد برای هر دو نمونه تا pH=14 روند افزایشی نشان داد ($p \leq 0.05$). نمونه ۴ به دلیل ویژگی های فیزیکی مناسب و تغییرات رنگی واضح تر در pH های مختلف به عنوان تیمار برتر معرفی شد.

DOI: 10.22034/FSCT.19.132.91

DOR: 20.1001.1.20088787.1401.19.132.7.0

* مسئول مکاتبات:

jahanbakhshian.n@gmail.com

نzedیکی با تغییر pH دارد. بنابراین، فیلمشنانگر بصری می تواند اطلاعات را مستقیماً از طریق تغییر رنگ قابل مشاهده نشان دهد. فیلم های نشانگر بصری از دو جزء مهم پشتیبان جامد^۷ و رنگ هایی که به تغییرات pH حساس هستند، تشکیل شده اند. استفاده از نشانگرها در قالب یک بسته بندی هوشمند از موارد قابل تحقیق در صنایع نگهداری گوشت و آبزیان می باشد[۵]. بسته بندی هوشمند مستلزم استفاده از حسگرها و انديکاتورهای pH است. اين نوع بسته بندی در واقع با مصرف کننده ارتباط برقرار می کند و به او سالم یا ناسالم بودن محصول اطلاع می دهد. وقتی ماهی فاسد می شود ترکیبات ازته فرار زیادی مانند، آمین های بیوژن، آمونیاک، تری متیل آمین و دی متیل آمین آزاد می شود که سبب تغییر میزان pH می شود یعنی pH ماهی به سمت قلیابی شدن پیش می رود که این تغییرات توسط معرف ها نشان داده می شود. غذاهای دریابی سیار فساد پذیر هستند و دارای ماندگاری کوتاه مدتی می باشند بنابراین با استفاده از نشانگرها مناسب می توان روند فساد را پیش بینی نمود. در سالهای اخیر استفاده از فیلم های پلی لاکتیک اسید (PLA) به دلیل شفافیتشان سیار رایج شده است. مواد اولیه تولید PLA، ضایعات کشاورزی مانند تفاله چغندر قند، نیشکر، ذرت و آب پنیر است [۶]. پلی لاکتیک اسید مانند پت شفاف است و خاصیت شیشه ای و واضح بالایی دارد[۷]. به منظور بررسی فساد از طریق تغییر رنگ می توان از آنتوسیانین ها بهره برد. آنتوسیانین های طبیعی رنگدانه های ایمن، غیر سمی و محلول در آب هستند که به تغییرات pH حساس هستند[۸]. برخی از آنتوسیانین های طبیعی، مانند آنتوسیانین های حاصله از توت، لوپیای سیاه، بلوبری جهت نظرات بر تازگی محصولات غذایی مورد استفاده قرار گرفته اند[۹]. آنتوسیانین ها در pH های مختلف به اشکال شیمیابی متفاوتی تبدیل می شوند. در سیستم های خارج از بدن موجود زنده آنتوسیانین ها می توانند در اثر pH های متفاوت به فرم های مختلف درآیند. در pH اسیدی (pH<2) آنتوسیانین ها به فرم کاتیون فلاوویلیوم می باشند (به صورت قرمز رنگ محلول در آب) و در محیط قلیابی ۷-۴ pH به رنگ صورتی مایل به آبی در می آیند. فرآیند آبدهی

۱- مقدمه

در سال های اخیر بسته بندی های هوشمند^۱، به دلیل توانایی ردیابی‌یافتنی مواد غذایی، بسیار مورد توجه بوده است. بسته بندی هوشمند از طریق درک و حس کردن بعضی از ویژگی ها در ارتباط با اینمی مواد غذایی بسته بندی شده و پاسخ به شرایط محیطی‌یافتنی توانند مصرف کننده را از وضعیت این ویژگی ها، مطلع ساخته یا به آنها هشدار دهنداشتن بسته بندی ها شرایط و وضعیت غذایی بسته بندی شده را بررسی کرده و اطلاعاتی را در مورد کیفیت غذایی بسته بندی شده در ضمن انبادراری و توزیع و فروش در دسترس قرار می دهند[۱]. بسته بندی هوشمند می تواند تعییرات کیفی مواد غذایی را در حین نگهداری کنترل کند و اطلاعات مربوط به کیفیت غذا را به طور موثر انتقال دهد. قسمت اصلی IP سنسورها یا شاخص هایی برای برآورد و برقراری ارتباط با کیفیت غذا است. برای مصرف کنندگان، IP می تواند تجربه امن تر، آسان تر، تعاملی و دلپذیر را فراهم آورد. برای تأمین کنندگان و فروشندهای کاغذ، می تواند هزینه ها را کاهش دهد، به نظارت موثر تر در تدارکات دست یابد، ارزش محصول را بهبود بخشد و سود را افزایش دهد[۲]. فناوری های بسته بندی هوشمند معمولاً به سه دسته تقسیم می شوند: نشانگرها، حسگرها و برچسب های RFID (شناسایی فرکانس رادیویی). با بررسی و جمع بندی بسیاری از تحقیقات انجام شده، مشخص شد که بسته بندی هوشمند مورد استفاده برای تشخیص تازگی محصولات غذایی را می توان به سه دسته تقسیم نمود: نشانگر تازگی، سنسور تازگی و برچسب شناسایی فرکانس رادیویی(RFID). چندین نوع بسته بندی هوشمند نظیر آشکارسازهای O₂ و CO₂، نشانگر pH، سنسورهای رطوبت، دما و زمان، و بیوسنسورهای باکتری های بیماری زا^۲ تا کنون معرفی شده اند[۳، ۴]. عملکرد بسته بندی هوشمند می تواند توسط تغییر رنگ بر اساس دما - زمان باشد که می تواند برای نشان دادن تازگی غذا یا وجود گازها استفاده شود. به طور کلی، فساد مواد غذایی ارتباط

1. Intelligent packaging
2. Indicators
3. Sensors
4. Radio Frequency Identification
5. pH indicators
6. pathogenic bacteria biosensors

را در فیلم ها تایید نمودند. علاوه بر این، مقاومت کششی^۵، طول کشش در هنگام شکست^۶ و شاخص های تورم^۷ فیلم ها اندازه گیری شد. به طور کلی، این خواص فیلمهای شاخص pH عمیقا تحت تأثیر ترکیبات PVA/CS و دوز STPP اعمال شده در هیدروژل ها قرار گرفتند. به عنوان مثال، مقاومت کششی از ۴۳/۲۷ مگاپاسکال بر رویک فیلم تهیه شده از هیدروژل PVA خالص به ۲۹/۸۹ مگاپاسکال، زمانی که ۳۵٪ Hidrozel PVA با CS جایگزین شد، رسید[۱۳]. Chen و همکاران (۲۰۲۰) از pH عصاره هایی شامل کورکومین و آنتوسبین های حساس به برای تهیه یک فیلم نشانگر حساس به منظور تشخیص تازگی گوشت ماهی استفاده نمودند. فیلم نشانگر پیشنهادی برایه ماتریس پلیمری افزوده شد. این فیلم های نشانگر سه رنگ متفاوت (زرد، بنفش و قهوه ای) ایجاد نمودند که رنگها نشاندهنده تازه بودن، نیمه تازه و فساد ماهی بود[۱۴]. Alizadeh-Sani و همکاران (۲۰۲۱) در بررسی فیلم های کامبوزیت نشانگر متشکل از نانوفیبر کیتوزان/ متیل سلولز محتوى آنتوسبین زعفران بیان نمودند که گروههای عمدہ ای که در فعل و افعالات مولکولی بین اجزای مختلف موجود در فیلمها نقش داشتند. گروههای هیدروکسیل (آنتوسبین، متیل سلولز و نانوفیبر کیتوزان) و گروههای آمینی (نانوفیبر کیتوزان) بودند. علاوه بر این تجزیه و تحلیل ATR-FTIR نشان داد که گروههای O-H روی آنتوسبین زعفران با O-H و N-H پیوندهای هیدروژنی روی ماتریس نانو فیبر کیتوزان/ متیل سلولز ایجاد کرده اند و فیلمهایی که فقط از متیل سلولز تشکیل شده بودند دارای سطوح صاف و یکنواختی بودند. فیلم های حاوی نانوفیبر کیتوزان و متیل سلولز دارای مورفولوژی سطحی سخت تری بودند که به برآمدگی ناشی از نانوفیبرها و سطح آنها نسبت داده شد. و ادغام آنتوسبین ها منجر به ایجاد مورفولوژی سطحی کمی صاف تر شد که به دلیل توانایی آنها در تعاملات با دیگر ترکیبات موجود در ساختار نسبت داده شد. فیلمهای متیل سلولز خالص نسبتاً قوی، سفت و انعطاف پذیر بودند. رنگ محلولها با

آنتوسبین ها منجر به ثباتی ساختمان آنتوسبین ها و ازدست رفتن رنگ در این pH میشود [۱۰]. Zhang و همکاران (۲۰۱۹) با بکارگیری آنتوسبین های استخراج شده از گل رز در فیلم نشانگر نشاسته-کیتوزان، دریافتند هنگامی که ترکیبات اساسی نیتروژن فرار در گوشت خوک تشکیل می شوند، رنگ بصری فیلم نشانگر از قرمز به زرد تغییر می کند. این مطالعه نشان داد که فیلم های نشانگر بصری مبتنی بر آنتوسبین انتخاب بسیار خوبی از حسگرهای گاز جهت بررسیتازگی گوشت خوک هستند[۱۱]. Li و همکاران (۲۰۱۹) در بررسی فیلم نشانگر جدید از کربوکسی متیل سلولز (CMC) / نشاسته (S) و آنتوسبین های سیب زمینی شیرین بنفش^۱ (PSPA) بیان نمودند که طبق تجزیه تحلیل طیف‌سنجی تبدیل فوریه فروسخ (FT-IR)، فعل و افعالات جدید بین اجزای فیلم ایجاد شده استو نتایج میکروسکوپ الکترونی روبشی (SEM) و پراش اشعه X (XRD) نشان داد که PSPA به خوبی در CMC و فیلمبر پایه نشاسته پراکنده شده است. نتایج از تجزیه و تحلیل کالریمتری اسکن افتراکی (DSC) نشان داد که دمای ذوب فیلم جدید افزایش یافت. افزودن PSPA به فیلم منجر به افزایش مقاومت در برابر کشش شداما کاهش طول در شکستگی و کاهش رطوبت ملاحظه شد. آنالیز تغییر رنگ نشان داد که هنگام قرار گرفتن در معرض تغییرات pH و آمونیاک، رنگ فیلم از قرمز به آبی و سبز تغییر کرد[۱۲]. Vo و همکاران (۲۰۱۹) با هدف تولید آنتوسبین های هوشمند نشانگر pH، از کیتوزان / پلی (وینیل الکل)^۲/ آنتوسبین استخراج شده از کلم قرمز از قرمز به آبی و سبز تغییر کرد[۱۲]. افزودن که فیلمهای شاخص pH ممکن استخراج شده از کلم قرمز استفاده نمودند. بدین ترتیب که فیلمهای شاخص pH ممکن استخراج شده از هیدروژلها^۳ با ترکیب ۱٪ پلی (وینیل الکل)(PVA) و ۱٪ کیتوزان (CS) با آنتوسبین (ATH) و سدیم تری پلی فسفات (STPP)^۴ تهیه شدند. به ویژه ATH استخراج شده از کلم قرمز به عنوان نشانگر pH استفاده شد، در حالی که از STPP به عنوان عامل اتصال عرضی استفاده شد تا خواص مکانیکی بهتری از آن را فراهم نماید. ویژگی های فیلم های نظیر طیف‌سنجی FT-IR وجود

5. Tensile strength
6. Elongation-at-break
7. Swelling indices

1. Purple sweet potato anthocyanins
2. Poly(vinyl alcohol)
3. Hydrogels
4. Sodiumtripolyphosphate

۲-۲- تولید فیلم های پلی لاکتیک اسید

برای تهیه فیلم پلی لاکتیک اسید از روش کستینگ با حلال و روش ارائه شده توسط Rhim و همکاران (۲۰۰۶) استفاده شد. میزان ۵ گرم گرانول پلی لاکتیک اسید به ۱۰۰ میلیلیتر کلروفرم اضافه شده و مخلوط حاصل به مدت ۸ ساعت بر روی همزن مغناطیسی و در دمای محیط هم زده شد. سپس آنتوسبیانین به میزان ۱٪ ماده خشک فیلم ها اضافه شد. لازم به ذکر است که در تحقیق حاضر، چهار فیلم تهیه شد بدین ترتیب که یک فیلم شاهد (فاقد آنتوسبیانین) در نظر گرفته شد. در نوع دوم تنها از آنتوسبیانین کلم قرمز، در نوع سوم از آنتوسبیانین چغندر لبویی و در فیلم چهارم از نسبت ۵۰-۵۰ آنتوسبیانین های کلم قرمز و چغندر لبویی تهیه شد. مخلوط حاصل ۲۰ دقیقه دیگر بر روی همزن مغناطیسی قرار گرفت. در پایان با دستگاه هموژنایز (Korea, 15D Wise) به مدت ۲ دقیقه با دور در دور در دقیقه یکنواخت شد. سطوح مختلف آنتوسبیانین به محلول نهایی اضافه شده و در دور ۸۰۰rpm به مدت ۱۰ دقیقه یکنواخت شده و عمل گاززدایی توسط سونیکاتور به مدت ۳۰ دقیقه در دمای اتاق انجام شد. سپس محلول در قالب‌های (پلیت) شیشهای ریخته شده و به مدت ۴ ساعت در دمای اتاق زیر هود شیمیابی نگهداری شد. بعد از تبخیر حلال، فیلمهای تهیه شده از قالبها جدا و به مدت ۲۴ ساعت در دمای اتاق قرار داده شد تا باقیمانده حلال که ممکن بود نقش پلاستیسایزری داشته باشد بهطور کامل حذف شود. بعد از تهیه فیلمهای پلی لاکتیک اسید محتوی آنتوسبیانین، دیسکهایی به قطر ۱۳ میلیمتر پانچ شد [۱۷].

۲-۳- آزمون های نمونه های فیلم های نشانگر

pH

۱-۳-۲- ضخامت

ضخامت فیلم های تهیه شده با استفاده از میکرومتر با دقت ۰/۰۱ اندازه گیری شد. حداقل ۳ نقطه مختلف در هر فیلم مورد اندازه گیری قرار گرفت و میانگین اعداد بدست آمده در آزمون های مورد نیاز، استفاده شد [۱۸].

۲-۳-۲- حلالیت

تکه های از فیلم (۰/۶ میلی گرم) بریده شده در یک دسیکاتور با (۰% P₂O₅) در دمای ۴۰ درجه RH به مدت ۲۴ ساعت در دمای ۵۰°C تغییل شد [۱۶].

افزایش pH از ۱ به ۱۴ از قرمز به زرد تغییر کرد و تعدادی رنگ مختلف در مقادیر pH متوسط ایجاد شد: قرمز/صورتی (۱-۴)، بنفش/خاکستری (۵-۶) (pH)، سبز (۷-۹) (pH) و زرد-سبز/زرد (۱۰-۱۴) (pH). این تغییرات رنگ به تغییرات ساختاری مولکول های آنتوسبیانین ناشی از pH تسبیت داده شد [۱۵]. در تحقیق حاضر پیش بینی فساد ماهی سالمون با استفاده از فیلم نشانگر پلی لاکتیک اسید و آنتوسبیانین های استخراج شده از کلم قرمز و چغندر لبویی مورد بررسی گرفت بررسی منابع نشان می دهد که تا کنون تحقیقی در زمینه استفاده از فیلم های پلی لاکتیک اسیدی نشانگر شده با این دو نوع آنتوسبیانین در تعیین فساد محصولات گوشتی صورت نگرفته است با توجه به فراوان بودن کلم قرمز و چغندر لبویی در ایران و با توجه به ویژگی بارز فیلم PLA (شفاف بودن) که تغییرات رنگ را به وضوح نشان میدهد اهمیت تحقیق حاضر روشن می گردد.

۲- مواد و روش ها

۲-۱- استخراج رنگدانه آنتوسبیانین توسط حلال و

تحت فرآصوت از کلم قرمز و چغندر لبویی

جهت استخراج آنتوسبیانین، ۱۰ گرم نمونه کلم قرمز و چغندر لبوییو ۴۰ میلی لیتر حلال (نسبت ۴:۱) درون حمام التراسونیک آزمایشگاهی (مدل L20 - CLEAN1) قرار گرفت. حلال مورد استفاده شامل متانول و اسید کلریدریک به نسبت (۹۹:۱) بود. فرایند صوت دهیدر زمان های ۲، ۵ و ۱۰ دقیقه و شدت فرآصوت ۲۰۰ و ۳۰۰ و ۴۰۰ فرآصوت قرار گرفت. نمونه های نیز تحت همین شرایط ولی بدون کاربرد امواج فرآصوت آماده شد. جذب آنتوسبیانین عصاره به دست آمده در دستگاه اسپکتروفتو متری اندازه گیری و به روش pH افتراقی غلظت آنتوسبیانین ها در عصاره محاسبه گردید. در آخرین مرحله، عصاره ای استخراج شده توسط دستگاه روتاری اوپرатор در دمای ۵۰°C و به مدت ۲ ساعت تا بریکس ۶۰ تغییل شد [۱۶].

در تحقیق حاضر ابتدا محلول های بافری با pH های مختلف تهیه شد و در فالکون ۱۵ میلی لیتری ریخته شد و سپس نمونه های فیلم با ابعاد $1 \times 1 \text{ cm}$ در آن قرار داده شده و پس از ۲ ساعت فیلمها بیرون آورده شده و رنگ آنها ارزیابی شد. آزمون تعیین رنگ نمونه های فیلم توسط دستگاه رنگ سنج (هانتر لب^۱) مطابق با روش AOCC شماره ۱۴-۲۲۰۱ انجام پذیرفت که با مشخص کردن شاخص های رنگی a^* , b^* و L^* , پارامتر رنگ نمونه ها تعیین شد [۲۱].

۴- تجزیه و تحلیل آماری

داده های آزمایشات با تجزیه و تحلیل واریانس یکطرفه (One-way ANOVA) مقایسه می شوند. تفاوت های معنی دار آماری بین مقادیر میانگین ها با استفاده از آزمون تعقیبی چند دامنه ای دان肯 شد. آزمون های آماری نتایج به دست آمده با استفاده از نرم افزار SPSS نسخه ۲۶ انجام شد. سطح معنیداری $p \leq 0.05$ برای تمامی مقایسه های داده ها در نظر شد و برای رسم نمودارها از نرم افزار Excel استفاده شد.

۳- نتایج و بحث

۱-۳- نتایج استخراج رنگدانه های آنتوسبیانینی

استخراج شده از کلم قرمز و چغندر لبویی

نتایج مقایسه میانگین رنگدانه آنتوسبیانین نمونه ها در جدول ۱ ارائه شده است. با توجه به نتایج مقایسه میانگین، بالاترین میزان آنتوسبیانین کلم قرمز در شدت صوت 20% و زمانهای ۵ و ۱۰ دقیقه ملاحظه شد ($p \leq 0.05$). همچنین بالاترین میزان آنتوسبیانین چغندر لبویی متعلق به شدت صوت 300% و زمان ۵ دقیقه بود ($p \leq 0.05$). مکانیسم اصلی استخراج با امواج فرا صوت به پدیده کاویتاسیون مربوط می شود که طی آن حباب های بسیار ریزی در مایع تشکیل شده، به سرعت تا اندازه بحرانی رشد می کنند و منفجر می گردند. از اینرو استفاده از این امواج در استخراج ترکیبات مختلف از بافت های گیاهی، راندمان عمل و سرعت فرایند استخراج را افزایش داده و مصرف حلال را کاهش میدهد [۲۲]. امواج فرما صوت دارای اثرات مکانیکی بوده که باعث افزایش

سانتیگراد حرارت داده می شود. سپس درون بشر با 10°C سی سی آب دیوینیز قرار داده شده این نمونه ها با تکان خوردن های دائمی به مدت ۲۴ ساعت در دمای اتاق همزده می شوند. سپس مخلوط فیلم و آب بر روی یک کاغذ صافی که قبل از وزن ثابت رسیده و دقیقاً توزین شده است صاف می شود. کاغذ صافی به همراه نمونه تا رسیدن به وزن ثابت در دمای 40°C درجه سانتیگراد قرار داده می شود. درصد حلalیت فیلم ها در آب از رابطه زیر محاسبه می گردد [۱۹].

= درصد حلالیت

$$\frac{\text{وزن خنک شده نهایی فیلم}}{\text{وزن خنک شده اولیه فیلم}} \times 100$$

$$\frac{\text{وزن خنک شده اولیه فیلم}}{\text{وزن خنک شده اولیه فیلم}} \times 100$$

۳-۳-۲- خواص مکانیکی

آزمون های مکانیکی فیلم ها بر اساس روش اصلاح شده ASTM D0882-02 انجام شد. فیلم ها در قطعات $7 \times 1 \text{ cm}$ سانتی متر بریده و تحت شرایط رطوبت نسبی 50% و دمای 25°C درجه سلسیوس مشروط شدند. قبل از انجام آزمون مکانیکی، ضخامت فیلم ها در ۵ نقطه اندازه گیری و ضخامت متوسط آنها تعیین شد. در دستگاه اینستران فاصله بین دو فک 50 میلی مترو سرعت حرکت فک بالایی 50 میلی متر بر دقیقه و فک پایینی ثابت بود. میزان کشش پذیری (درصد) بوسیله تقسیم میزان کشش در لحظه پاره شدن نمونه فیلم بر طول اولیه فیلم، مقاومت به کشش (مگا پاسکال) بوسیله تقسیم بیشینه نیرو بر سطح اولیه و مدول الاستیک (مگا پاسکال) شیب قسمت اول منحنی است که شیب آن ثابت است بدست آمدند [۲۰].

$$TS = \frac{\text{Maximum load}}{\text{Original minimum cross sectional area}} = \frac{\Delta L}{L_0} \times 100$$

$$\% E = \frac{\text{Extension at moment of rupture}}{\text{initial gage length}} = \frac{\Delta L}{L_0} \times 100$$

در رابطه E ، ΔL میزان کشش تا لحظه پارگی بر حسب میلیمتر؛ L_0 مقدار طول اولیه فیلم یا فاصله اولیه بین دو فک بر حسب میلیمتر بوده و E بدون بعد بود.

۴-۳-۲- رنگ سنجی (مقادیر b^* , a^* , L^*)

اما در زمان ۱۵ دقیقه این روند ثابت شد و در برخی موارد کاهش یافت. شرایط بهینه استخراج زمان ۱۰ دقیقه و شدت صوت ۱۰۰ درصد بیان گردید [۲۶]. Simona Oancea (۲۰۱۸) با هدف استخراج اجزای آنتی اکسیدانی از ضایعات پوست پیاز قرمز به کمک امواج فرا صوت بیان نمودند در کوتاه ترین زمان توسط این امواج با نسبت ۳۰ به ۱ حلال به ماده جامد بیشترین میزان فلاونوئید، آنتوسیانین و ترکیبات فنولیک استخراج گردید و بیشترین میزان آنتی اکسیدان هم در زمان ۲۰ دقیقه در مجاورت امواج فرا صوت بدست آمد [۲۷]. پدرام نیا و همکاران (۲۰۱۸) در پژوهشی استخراج آنتوسیانین زرشک را در حضور امواج فرا صوت در سه دمای مختلف ۳۰، ۴۰، ۵۰ و سه زمان ۱۰، ۲۰، ۳۰ دقیقه با دو حلال اسید کلریدریک و اتانول مورد بررسی قرار دادند. در این بررسی مشخص شد که بیش ترین مقدار آنتوسیانین در عصاره و تفاله ای بود که با استفاده از امواج فرا صوت در دمای ۵۰ درجه و زمان ۲۰ دقیقه استخراج شده بود و میزان آن $260/171$ میلی گرم در 100 میلی لیتر محلول گزارش شد [۲۸].

نفوذپذیری حلال در بافت‌های سلولی شده و در نهایت منجر به انتقال جرم بهتر و سریع تر می‌شوند. سلول‌های زنده تحت تاثیر امواج فرا صوت، تخریب می‌شوند و مواد درون خود را بهتر و آسان تر رها می‌کنند. از جمله مزایای این روش می‌توان به افزایش کارایی فرآیند و افزایش سرعت عمل اشاره نمود [۲۲]. استفاده از فرا صوت در فرآیند استخراج، راندمان عمل و سرعت فرآیند استخراج را افزایش و مصرف حلال را کاهش می‌دهد. Shukla (۲۰۱۶) و همکاران از سنسورهای نشانگر بر پایه آنتوسیانین استخراج شده از گل رز و کلم قرمز و کاغذ فیلتر به عنوان حامل بی حرکت جهت بسته بندی هوشمند استفاده نمودند و بیان نمودند که بررسی عصاره‌ها توسط اسپکتروفوتومتر UV-Vis، حداکثر جذب 530 نانومتر را نشان داده است و به آنتوسیانین موجود در دو عصاره نسبت داده شد [۲۵]. روحانی و همکاران (۲۰۱۵) در استخراج ترکیبات آنتوسیانینی و آنتی اکسیدانی پرچم گل زعفران به کمک امواج فرا صوت از سه زمان (5 ، 10 و 15 دقیقه) و سه شدت صوت (60 ، 20 و 100 درصد) استفاده کردند و دریافتند با افزایش زمان و شدت صوت از 5 تا 10 دقیقه مقدار پلی فنل کل افزایش یافت،

Table 1 Results of the amount of anthocyanin pigments extracted from red cabbage and beetroot under Ultrasound-assisted extraction

Source of anthocyanins		Intensity (%)	Time (min)
beetroot	Red cabbage		
579.7853 ^d	268.852 ^b	200	2
584.461 ^c	282.8791 ^a	200	5
565.7582 ^e	285.217 ^a	200	10
589.1367 ^b	261.8385 ^d	300	2
607.8394 ^a	271.1899 ^c	300	5
575.1096 ^d	254.825 ^e	300	10
551.7312 ^f	243.1358 ^f	400	2
542.3798 ^g	245.4736 ^f	400	5
537.7041 ^g	236.1222 ^g	400	10

Different lower case letters indicate a significant difference in the column ($p<0.05$).

کامپوزیت های نانوکریستال کیتوزان/اکسید کیتین (CS/OCN) و آنتوسیانین های کلم قرمز (RCA) جهت نظارت بر تازگی ماهی و میگو، بیان نمودند که ضخامت هر فیلم تحت تأثیر محتموای RCA ها قرار نگرفت که به مقادیر کم اضافه شده و سازگاری مطلوب بین کامپوزیت های CS/OCN و RCA هانسبت داده شد [۲۹].

۲-۳-۱-۲-۳- نتایج آزمون های نمونه های فیلم

۱-۲-۳- ضخامت

نتایج تحقیق حاضر (جدول ۲) نشان داد که اختلاف آماری معنی داری در ضخامت نمونه های فیلم ملاحظه نشد ($p>0.05$). Chen و همکاران (۲۰۱۲) طی تولید فیلم های هوشمند از

آنتوسبیانینی، میزان حلالیت نمونه های فیلم کاهش یافت [۳۱]. Merz و همکاران (۲۰۲۰) در بررسی یک فیلم نشانگر رنگی بر پایه کیتوزان، پلی وینیل الکل و آنتوسبیانین استخراج شده از میوه‌جمبو (*Syzygium cumini*) جهت نظارت بر تازگی میگو، بیان نمودند که افزودن سطوح ۱، ۲ و ۳ درصد آنتوسبیانین به فیلم ها، اختلاف آماری معنی داری را در میزان حلالیت نمونه های فیلم ایجاد نکرد که علت تفاوت با یافته های تحقیق حاضر را شاید بتوان به تفاوت در سطوح افزوده شده آنتوسبیانین نسبت داد [۳۲].

۲-۲-۳-حلالیت

نتایج تحقیق حاضر (جدول ۲) نشان داد که بالاترین حلالیت متعلق به نمونه شاهد و پائین ترین میزان حلالیت متعلق به نمونه ۴ بود. حلالیت از فاکتورهای مهم فیلمهای زیست تخریب پذیر میباشد که بر مقاومت فیلم به آب به ویژه در محیطهای مرطوب تاثیرگذار میباشد [۳۰]. Wang و همکاران (۲۰۱۲) در بررسی تأثیر عصاره تمشک قرمز غنی از آنتوسبیانین (ARRE) بر ویژگی های فیلم های ایزوله پروتئین سویا خوراکی (SPI)، بیان نمودند که افزودن عصاره آنتوسبیانینی منجر به کاهش حلالیت نمونه ها شده است. در تحقیق حاضر نیز با افزودن عصاره های

Table 2 Results of solubility and thickness of film samples

Thickness (mm)	Solubility (%)	
0.29±0.01 ^a	13.70±0.01 ^a	Cod (1)
0.30±0.01 ^a	12.88±0.12 ^b	Cod (2)
0.29±0.01 ^a	12.56±0.23 ^b	Cod (3)
0.30±0.01 ^a	11.30±0.35 ^c	Cod (4)

Different lowercase letters indicate a significant difference in the column ($p < 0.05$).

Cod (1): Polylactic acid film without anthocyanin, Cod (2): Polylactic acid film with anthocyanins extracted from red cabbage, Cod (3): Polylactic acid film with anthocyanins extracted from beetroot, Cod (4): Polylactic acid film with anthocyanins extracted from red cabbage and beetroot

جهت انتخاب و بکارگیری آنها برای مصارف بسته بندی میباشد و به اندازه خواص بازدارندگی آنها با اهمیت میباشد. معمولاً فیلمی از نظر مکانیکی مطلوب است که در عین حال که مقاومت مکانیکی آن بالا باشد، کنش پذیری و انعطاف پذیری آن نیز بالا بوده و ترد و شکننده نباشد [۳۵]. Alizadeh-Sani و همکاران (۲۰۲۱) در بررسی فیلم های کامپوزیت نشانگر متسلک از نانوفیبر کیتوزان/متیل سلولز محتوى آنتوسبیانین زعفران بیان نمودند که فیلمهای متیل سلولز خالص نسبتاً قوی، سفت و انعطاف پذیر بودند. ترکیب نانوفیبر کیتوزان (۳٪) استحکام و سفتی فیلمها را به میزان قابل ملاحظه ای افزایش و انعطاف پذیری آنها را کاهش داد. بر عکس، ترکیب آنتوسبیانین زعفران در فیلم های کامپوزیتی، استحکام و سفتی آنها را کمی کاهش و انعطاف پذیری آنها را افزایشداد که نشان می دهد که نانوفیبر کیتوزان و آنتوسبیانین ها بر ساختار و یا فعل و انفعالات بیopolymerها و ذرات موجود در فیلم های کامپوزیتی تأثیر گذاشته اند [۱۵]. آنتوسبیانین ها ممکن است به عنوان نرم کننده هایی عمل کنند که تحرک زنجیره های بیopolymer را افزایش داده و در نتیجه انعطاف

۲-۳-خواص مکانیکی

۲-۳-۱-افزایش طول در شکست (انعطاف پذیری)

نتایج تحقیق حاضر (جدول ۳) نشان داد که بالاترین افزایش طول در شکست متعلق به نمونه های ۳ (فیلم پلی لاکتیک اسید حاوی آنتوسبیانین چغندر لبوی) و ۴ (فیلم پلی لاکتیک اسید حاوی آنتوسبیانین های کلم قرمز و چغندر لبوی) و پائین ترین افزایش طول در شکست متعلق به نمونه ۱ (فیلم پلی لاکتیک اسید فاقد آنتوسبیانین) بود ($p < 0.05$). به طور کلی ویژگی های مکانیکی، تحت تأثیر چند عامل از جمله برهم کنش های بین ترکیبات فیلم، شرایط دمایی، فیزیکی و شیمیایی است [۳۳]. حداکثر کششی که فیلم تحمل می کند تا پاره شود (TS) در فیلم خوراکی بستگی به ساختار شیمیایی مولکول ها یا بهم پیوستگی زنجیرهای پلیمر در ماتریکس ورقه ای فیلم دارد [۳۴]. بطور کلی فیلمها باید نسبت به فشارهایی که ضمن استفاده و حمل و نقل به آن وارد میشود مقاوم باشد تا استحکام و همچنین ویژگی های ممانعت کنندگی خود را حفظ کند. خواص مکانیکی فیلمها یکی از ارکان مهم

مطلوب است که با درصد بالای افزایش طول در زمان پاره شدن مشخص میشود. V_0 و همکاران (۲۰۱۹) با هدف تولید فیلم های هوشمند نشانگر pH، از کیتوزان/پلی (وینیل الکل)/ آنتوسیانین استخراج شده از کلم قرمز بیان نمودند که خواص STPP فیلمها عمیقا تحت تأثیر ترکیبات PVA/CS و دوز PVA/CS/STPP اعمال شده در هیدروژل ها قرار گرفتند. به عنوان مثال، مقاومت کششیاز $43/27$ مگاپاسکال بر رویک فیلم تهیه شده از هیدروژل PVA خالص به $29/89$ مگاپاسکال، زمانی که هیدروژل PVA با CS جایگزین شد، رسید.

۲-۳-۳-۲-۳-مدول یانگ

نتایج تحقیق حاضر (جدول ۳) نشان داد که پائین ترین مدول یانگ متعلق به نمونه ۱ (فیلم پلی لاتکیک اسید فاقد آنتوسیانین) بود ($p \leq 0.05$). ضربهالاستیستیه سختی فیلم را نشان می دهد (Lazarus *et al.*, 1976). مدول یانگ یا مدول الاستیستیه به نسبت تنش به کرنش مواد جامد خطی در پاییتر از استحکام تسلیم گفته می شود که در این حالت قانون هوک صادق بوده و مدول الاستیک ثابت است. نمایاگر مقدار نیروی لازم برای تغییر شکل جسم الاستیک تا حدی مشخص است (Longares *et al.*, 2004).

پذیری فیلم را افزایش می دهد [۳۶، ۳۷]. محققان گزارش داده اند که آنتوسیانین های پوست آلو سیاه مقاومت مکانیکی و انعطاف پذیری فیلم های کیتوزانی را افزایش می دهد [۱۱]. در حالی که سایر محققان گزارش داده اند که آنتوسیانین های سیب زمینی شیرین قدرت را کاهش داده و انعطاف پذیری فیلم های کیتوزانی را افزایش می دهد (Yong *et al.*, 2019). در نتیجه، به نظر می رسد که تاثیر آنتوسیانین ها وابسته به سیستم است. Li و همکاران (۲۰۱۹) در تولید فیلم نشانگر متشکل از کربوکسی متیل سلولز (CMC) و آنتوسیانین های سیب زمینی شیرین بنفش اذغان نمودند که افزودن آنتوسیانین ها به فیلم منجر به افزایش مقاومت در برابر کشش شداما کاهش طول در شکستگی و کاهش رطوبت ملاحظه شد.

۲-۳-۲-۳-مقاومت به کشش

نتایج تحقیق حاضر (جدول ۳) نشان داد که پائین ترین مقاومت به کشش متعلق به نمونه ۱ (فیلم پلی لاتکیک اسید فاقد آنتوسیانین) بود ($p \leq 0.05$). به طور کلی، کشیدگی یا افزایش طول تا نقطه شکست (EB) درصد افزایش طول نمونه در زمان پاره شدن تعریف می شود (Longares *et al.*, 2004) و به عبارتی حداکثر طولی که فیلم در آن پاره میشود درصد افزایش طول فیلم میباشد. کشش پذیری بالای فیلم، همیشه یک مشخصه

Table 3 Results of mechanical test of film samples

Young's modulus (MPa)	Tensile strength (MPa)	Elongation at break (%)	
0.47 ± 0.03^b	0.008 ± 0.000^b	187.08 ± 5.63^c	Cod (1)
0.59 ± 0.04^a	0.018 ± 0.000^a	315.54 ± 21.15^b	Cod (2)
0.51 ± 0.04^{ab}	0.019 ± 0.000^a	368.54 ± 14.28^a	Cod (3)
0.54 ± 0.03^{ab}	0.019 ± 0.000^a	354.29 ± 33.21^{ab}	Cod (4)

Different lower case letters indicate a significant difference in the column ($p < 0.05$).

Cod (1): Polylactic acid film without anthocyanin, Cod (2): Polylactic acid film with anthocyanins extracted from red cabbage, Cod (3): Polylactic acid film with anthocyanins extracted from beetroot, Cod (4): Polylactic acid film with anthocyanins extracted from red cabbage and beetroot

معنی داری افزایش یافت ($p \leq 0.05$) به طوری که بالاترین میزان مولفه رنگی L^* در $pH=14$ و پائین ترین میزان آن در $pH=1$ ملاحظه شد ($p \leq 0.05$). همچنین در تمامی pH های مورد بررسی، نمونه ۱ (فیلم پلی لاتکیک اسید فاقد آنتوسیانین) دارای بالاترین مولفه رنگی L^* و نمونه ۳ (فیلم پلی لاتکیک اسید حاوی آنتوسیانین چغندر لبویی)، دارای پائین ترین مولفه

۳-۳- ارزیابی نتایج تغییرات مولفه های رنگی

pH با تغییرات L^*, a^*, b^*

۳-۳-۱- مولفه رنگی L^*

نتایج تحقیق حاضر (جدول ۴) نشان داد که در تمامی نمونه های فیلم به جز نمونه ۱ (فیلم پلی لاتکیک اسید فاقد آنتوسیانین)، با افزایش pH (تا $pH=14$ ، مولفه رنگی L^* نمونه ها به طور

یافت. تغییر طیف جذب و رنگ محلولهای آنتوسبیانین زعفران را می‌توان به تغییرات در گونه‌های مولکولی موجود نسبت داد. یافته‌های مشابهی برای آنتوسبیانین‌های جدا شده از پوست آلو سیاه[۱۱]. و زغال اخته گزارش شده است [۱۱]. Li و همکاران (۲۰۱۹) در تولید فیلم نشانگر متشكل از کربوکسی متیل سلولز (CMC)/نشاسته (S) و آنتوسبیانین‌های سیب زمینی، شیرین بنفش اذاعان نمودند که با توجه به نتایج آنالیز تغییر رنگ، هنگام قرار گرفتن فیلم در معرض تغییرات pH و آمونیاک، رنگ فیلم از قرمز به آبی و سبز تغییر کرد. همچنین فیلم SCA به عنوان برچسب هایی برای نظارت بر تازگی گوشت ماهی نگهداری شده در دمای 20°C استفاده شد. نتایج نشان داد وقتیکه ماهی فاسد شد رنگ فیلم از قرمز تا آبی تغییر نمود که نتایج به دست آمده با مقدار TVB-N مطابقت داشت که بالاتر از حد تعیین شده بود (۰ میلی گرم در 100 g) [۱۲]. Kuswandi و همکاران (۲۰۱۲) از یک فیلم نشانگر پایه پلی آئیلین تولید شده با استفاده از بستر پلی استایرن برای تشخیص فساد ماهی بیان نمودند که ارتباط خوبی بین پاسخ فیلم نشانگر با الگوهای رشد میکروبی در نمونه‌های ماهی، به ویژه تغییر جمعیت میکروبی (تعداد قابل قبول کل (TVC) و سودوموناس) وجود دارد و با افزایش جمعیت میکروبی، رنگ فیلم به تدریج از سبز به آبی تغییر کرد و به طور کلی اذاعان نمودند که تغییرات رنگ، از نظر تغییرات کلی رنگ با سطح TVBN ماهی ارتباط خوبی دارد [۱۲]. Chun و همکاران (۲۰۱۴) در تولید فیلم نشانگر جهت بررسی تازگی ماهی در زمان واقعی توسط چرخش رنگ سبز برومکروزول روی کاغذ فیلتر بیان نمودند که رنگ فیلم اندیکاتور در پاسخ به افزایش ترکیبات نیتروژنی فرار، که منجر به افزایش pH نمونه ماهی می‌شود، به تدریج از زرد به سبز تغییر نمود [۱۲].

رنگی^{*} L* نسبت به دیگر نمونه‌ها بود ($0.05 \leq p < 0.05$). شاخص رنگی^{*} L* میزان تیرگی و روشنی (روشن-تیره، $0-100$) را اندازه‌گیری می‌کند (Pino & Gonzalez., 2002) و Pereira (2015) در بررسی آنتوسبیانین (ATH) استخراج شده از کلم قرمز بیان نمودند که آنتوسبیانین در غلظت $86/67\text{ میلی گرم در لیتر}$ با محلولهای بافر از 1 pH تغییر رنگ واضح نشان داد. مزیت بکارگیری آنتوسبیانینها به عنوان نشانگر pH به دلیل تغییر رنگ آشکار آنها در سطوح مختلف pH است. به عنوان مثال رنگ آنها در محلولهای اسیدی، قرمز pH یا صورتی و در محلولهای قلیایی به رنگ آبیا سبز است. در نتیجه ATH به عنوان نشانگر pH در فیلم‌های متشكل از Alizadeh- PVA و CS و STPP مناسب بوده است [۹]. Sani و همکاران (۲۰۲۱) در بررسی فیلم‌های کامپوزیت نشانگر متشكل از نانوفیبر کیتوزان/متیل سلولز محتوی آنتوسبیانین زعفران بیان نمودند که رنگ محلولها با افزایش pH از 1 به 14 از قرمز به زرد تغییرکرد و تعدادی رنگ مختلف در مقادیر pH متوسط ایجاد شد: قرمز/صورتی (pH 1-4)، بنفش/خاکستری (pH 5-6)، سبز (pH 7-9) و زرد-سبز/زرد (pH 10-) [۱۴]. این تغییرات رنگ به تغییرات ساختاری مولکولهای آنتوسبیانین ناشی از pH نسبت داده شد: کاتیون فلاویلیوم⁽⁺⁾ (Flavylium cation)¹. شبیه پایه کاربینول⁽⁻⁾ ($\text{Carbinol pseudo-base}$)² باز کوینونویدال بدون آب⁽⁻⁾ ($\text{Quinonoidal anhydro-base}$)³ باشد [۱۱]. شدت و طول موج پیک جذب ماکزیمم محلولهای آنتوسبیانین به pH⁽⁺⁾ بستگی دارد. در شرایط بسیار اسیدی ($\text{pH} < 4$)، پیک جذب قوی در حدود 520 نانومتر مشاهده شد، که با افزایش pH، ارتفاع آن کاهش یافت. سبیس بیک جدیدی در حدود 550 نانومتر شکل گرفت که با افزایش pH از 5 به 9 ، شدت و موقعیت آن افزایش یافت، که این ویژگی بارز آنتوسبیانین‌ها است [۱۶]. شدت اینپیک زمانی کاهش یافت که pH از 10 به 14 افزایش

1. Flavylium cation
2. Carbinol pseudo-base
3. Quinonoidal anhydro-base
4. Chalcone

Table 4 Changes in the L* of films with pH changes

Cod (4)	Cod (3)	Cod (2)	Cod (1)	
31.74±0.25 ^{iC}	28.78±0.64 ^{hD}	36.52±0.34 ^{jB}	76.71±0.19 ^{aA}	pH=1
32.29±0.63 ^{iC}	31.59±1.00 ^{gD}	37.10±0.33 ^{iB}	76.78±0.45 ^{aA}	pH=2
36.79±0.53 ^{gC}	31.27±0.26 ^{gD}	46.09±0.22 ^{gB}	76.76±0.46 ^{aA}	pH=3
38.56±0.46 ^{fC}	33.89±0.32 ^{fD}	46.76±0.33 ^{fB}	76.77±0.25 ^{aA}	pH=4
39.53±0.36 ^{eC}	35.093±0.13 ^{dE}	47.31±0.53 ^{eB}	76.27±0.09 ^{abA}	pH=5
43.13±0.24 ^{eC}	37.78±0.35 ^{cD}	51.28±0.04 ^{cB}	76.13±0.16 ^{abA}	pH=6
41.59±0.27 ^{dC}	35.89±0.51 ^{dD}	50.65±0.43 ^{dB}	75.99±0.58 ^{bA}	pH=7
41.08±0.23 ^{dC}	37.83±0.29 ^{cD}	47.50±0.33 ^{eB}	75.72±0.30 ^{bcA}	pH=8
40.01±0.12 ^{eC}	31.55±0.44 ^{gD}	51.57±0.14 ^{cB}	75.67±0.39 ^{bcA}	pH=9
35.69±0.49 ^{hC}	38.22±0.54 ^{cD}	36.72±0.15 ^{ijB}	75.15±0.41 ^{cdA}	pH=10
41.12±0.72 ^{dD}	47.98±0.13 ^{bC}	37.88±0.22 ^{hB}	75.28±0.38 ^{cdA}	pH=11
38.81±0.20 ^{fC}	34.29±0.41 ^{eD}	45.78±0.16 ^{gB}	74.64±0.63 ^{deA}	pH=12
54.33±0.22 ^{bC}	52.15±0.42 ^{aD}	60.43±0.29 ^{bB}	74.06±0.35 ^{eA}	pH=13
55.56±0.11 ^{aC}	52.59±0.51 ^{aD}	61.48±0.28 ^{aB}	73.99±0.35 ^{eA}	pH=14

Different lowercase letters indicate a significant difference in the column and different uppercase letters indicate a significant difference in the row ($p<0.05$).

Cod (1): Polylactic acid film without anthocyanin, Cod (2): Polylactic acid film with anthocyanins extracted from red cabbage, Cod (3): Polylactic acid film with anthocyanins extracted from beetroot, Cod (4): Polylactic acid film with anthocyanins extracted from red cabbage and beetroot

مطلق، -120° - $+120^{\circ}$]. امتیاز مثبت، نشان دهنده قرمزی نمونه است در حالی که امتیاز منفی آن نشان می دهد که نمونه مایل به سبز است [45]. Ma و همکاران (۲۰۱۷) با ترکیب آنتوسبیانین های استخراج شده از پوسته *Vitis amurensis* با مخلوطی از صمغ تارا و سلولز یک فیلم شاخص جدید تولید نمودند تا فساد ماهی را مورد بررسی قرار دهنده که در آن تغییر رنگ قابل تشخیص از صورتی به سبز مشاهده شد [46]. Zhang و همکاران (۲۰۱۹) با بکارگیری آنتوسبیانین های استخراج شده از گل رز در فیلم نشانگر نشاسته-کیتوزان، دریافتند هنگامی که ترکیبات اساسی نیتروژن فرار در گوشت خوک تشکیل می شوند، رنگ بصری فیلم نشانگر از قرمز به زرد تغییر می کند. این مطالعه نشان داد که فیلم های نشانگر بصری مبتنی بر آنتوسبیانین انتخاب بسیار خوبی از حسگرهای گاز جهت بررسیتازگی گوشت خوک هستند [11]. Li و همکاران (۲۰۱۹) طی تولید یک فیلم نشانگر جدید از کربوکسی متیل سلولز (CMC)/ نشاسته (S) و آنتوسبیانین های سیب زمینی شیرین بنشش¹ (PSPA) بیان نمودند که هنگام قرار گرفتن در معرض تغییرات pH و آمونیاک، رنگ فیلمها از قرمز به آبی و سبز تغییر کرد. در تحقیق حاضر نیز با افزایش pH از قرمزی نمونه های فیلم کاسته شده است [12].

۳-۲-۲- مولفه رنگی*

نتایج تحقیق حاضر (جدول ۵) نشان داد که در نمونه ۲ (فیلم پلی لاکتیک اسید حاوی آنتوسبیانین چغندر لبویی)، بالاترین میزان a^* در pH=1 و پایین ترین میزان آن در pH=13 ملاحظه شد. در نمونه ۳ (فیلم پلی لاکتیک اسید حاوی آنتوسبیانین چغندر لبویی) بالاترین میزان a^* در pH=6 و پایینترین میزان آن در pH=14 ملاحظه شد ($p\leq 0.05$). در نمونه ۴ (فیلم پلی لاکتیک اسید حاوی آنتوسبیانین های کلم قرمز و چغندر لبویی) بالاترین میزان a^* متعلق به pH های ۱ و ۲ بود و پایینترین میزان آن در pH=13 ملاحظه شد ($p\leq 0.05$). به طور کلی می توان بیان نمود که مولفه رنگی a^* در نمونه ۳ (فیلم پلی لاکتیک اسید حاوی آنتوسبیانین چغندر لبویی)، در pH=1-6 روند افزایشی و سپس تا pH=14 روند کاهشی داشت ($p\leq 0.05$). در نمونه های ۲ (فیلم پلی لاکتیک اسید حاوی آنتوسبیانین کلم قرمز) و ۴ (فیلم پلی لاکتیک اسید حاوی آنتوسبیانین های کلم قرمز و چغندر لبویی) در pH=1-13 روند افزایشی ملاحظه شد ($p\leq 0.05$). در نمونه ۳ (فیلم پلی لاکتیک اسید حاوی آنتوسبیانین چغندر لبویی)، تا pH=6 روند افزایشی و پس از آن تا pH=14 روند کاهشی ملاحظه شد ($p\leq 0.05$). شاخص رنگی a^* نشاندهنده قرمزی در نمونه ها می باشد (قرمز مطلق سبز

1. Purple sweet potato anthocyanins

Table 5 Changes in the a^* of films with pH changes

Cod (4)	Cod (3)	Cod (2)	Cod (1)	
43.36±0.31 eB	40.44±0.25 gC	49.85±0.87 aA	0.20±0.11 aD	pH=1
43.81±0.16 eB	48.46±0.58 fA	44.10±0.23 bB	0.15±0.08 aC	pH=2
30.69±0.82 eB	50.77±0.31 eA	12.89±0.34 cC	0.15±0.06 bD	pH=3
26.43±0.37 eB	52.42±0.17 dA	3.85±0.38 dC	0.28±0.11 cD	pH=4
27.30±0.46 eB	54.26±0.26 bA	2.91±0.06 eC	0.30±0.17 cD	pH=5
26.54±0.35 dB	55.18±0.39 aA	1.18±0.21 fC	0.47±0.24 cD	pH=6
24.57±0.32 cdB	52.89±0.44 cA	-1.44±0.34 gD	0.69±0.28 dC	pH=7
20.72±0.19 cdB	48.83±0.62 eA	-4.28±0.16 hD	0.68±0.34 eC	pH=8
14.34±0.64 cB	41.75±0.27 gA	-9.12±0.54 iD	0.96±0.17 fC	pH=9
4.89±0.18 bB	27.81±0.62 iA	-15.07±0.57 jD	1.34±0.05 gC	pH=10
1.84±0.67 cB	25.71±0.58 jA	-19.11±0.82 lD	1.00±0.29 hC	pH=11
1.68±0.47 bB	24.51±0.29 kA	-18.25±0.73 kD	1.44±0.14 hC	pH=12
-12.19±0.77 aC	1.67±0.49 lB	-22.67±0.50 mD	1.93±0.08 jA	pH=13
-2.08±0.58 aD	-1.34±0.41 mC	0.44±0.21 fB	1.86±0.08 iA	pH=14

Different lower case letters indicate a significant difference in the column and different uppercase letters indicate a significant difference in the row ($p<0.05$).

Cod (1): Polylactic acid film without anthocyanin, Cod (2): Polylactic acid film with anthocyanins extracted from red cabbage, Cod (3): Polylactic acid film with anthocyanins extracted from beetroot, Cod (4): Polylactic acid film with anthocyanins extracted from red cabbage and beetroot

می دهد (زرد مطلق - آبی مطلق، -120° - $+120^\circ$). [۱۱]. Erna و همکاران (۲۰۲۲) در بررسی خصوصیات فیزیکوشیمیایی فیلم پلیمری بر پایه نشاسته محتوی آنتوسیانین بیان نمودند که فیلم های نشانگر حساسیت بالایی نسبت به تغییرات pH نشان دادند به طوری که فیلمهای مذکور در ۲.۰-۶.۰ pH رنگ قرمز روشن، در pH ۷.۰-۱۱.۰ pH، به رنگ خاکستری مایل به آبی و در pH بالای ۱۱، سبز متمایل به زرد را نشان دادند [۴۷]. در تحقیق حاضر نیز طبق مشاهدات بصری (شکل ۱)، نمونه ۲ (فیلم پلی لакتیک اسید حاوی آنتوسیانین کلم قرمز) در ۱-۲ pH، رنگ های قرمز روشن و صورتی، در ۳-۶ pH، رنگ بنفش کمرنگ، و در ۷-۹ pH، رنگ خاکستری، ۱۰-۱۲ pH، رنگ آبی کمرنگ، در ۱۳ pH رنگ سبز کمرنگ و در pH=14 رنگ زرد نشان داد. همچنین نمونه های ۳ (فیلم پلی لакتیک اسید حاوی آنتوسیانین چغندر لبوی) و ۴ (فیلم پلی لакتیک اسید حاوی آنتوسیانین های کلم قرمز و چغندر لبوی)، در ۹-۱۰ pH، رنگ بنفش های قرمز نسبتاً تیره تا روشن، در pH ۱۰-۱۲ pH، رنگ بنفش کمرنگ، و در ۱۳-۱۴ pH، رنگ زرد نشان دادند. Chun و همکاران (۲۰۱۴) یک فیلم نشانگر جهت بررسی تازگی ماهی در زمان واقعی توسط چرخش رنگ سبز برومکروزول روی کاغذ

۳-۳-۳- مولفه رنگی *

نتایج تحقیق حاضر (جدول ۶) نشان داد که در نمونه ۲ (فیلم پلی لакتیک اسید حاوی آنتوسیانین کلم قرمز)، بالاترین میزان *b در pH=14 و پائین ترین میزان آن در pH=12 ملاحظه شد و در نمونه های ۳ (فیلم پلی لакتیک اسید حاوی آنتوسیانین چغندر لبوی) و ۴ (فیلم پلی لакتیک اسید حاوی آنتوسیانین های کلم قرمز و چغندر لبوی)، بالاترین میزان *b در pH=14 و پائین ترین میزان آن در pH=11 ملاحظه شد. به طور کلی می توان بیان نمود که در مولفه رنگی *b نمونه ۲ (فیلم پلی لакتیک اسید حاوی آنتوسیانین کلم قرمز)، ابتدا در pH=1-12، روند کاهشی و سپس تا pH=14 روند افزایشی ملاحظه شد ($p\leq 0.05$). مولفه رنگی *b نمونه ۳ (فیلم پلی لакتیک اسید حاوی آنتوسیانین چغندر لبوی) در pH=1-11 و در نمونه ۴ (فیلم پلی لакتیک اسید حاوی آنتوسیانین های کلم قرمز و چغندر لبوی) در pH=1-12، روند کاهشی و مجدد برای هر دو نمونه تا pH=14 روند افزایشی نشان داد ($p\leq 0.05$). مقادیر امتیاز مثبت شاخص رنگی *b میزان زردی نمونه را نشان میدهد و مقدار منفی آن میزان مایل بودن به رنگ آبی نمونه (امتیاز شاخص رنگی *b) و میزان منفی آن مایل بودن به رنگ آبی نمونه را نشان

آنتو سیانین استخراج شده از گل رز و کلم قرمز و کاغذ فیلتر به عنوان حامل بی حرکت جهت بسته بندی هوشمند استفاده نمودند. سنسور نشانگر بر اساس فلاونوئیدهای طبیعی (آنتو سیانین) استخراج شده از کلم قرمز و گل رز بود که با افزایش pH رنگ آن از قرمز به سبز تغییر کرد [۴۹].

فیلتر تهیه نمودند و بر اساس مقدار ترکیبات ازته فرار تولید شده در حین فساد فیله های ماکرل ماهی تغییر رنگ را مورد بررسی قرار دادند. نتایج نشان داد که رنگ فیلم اندیکاتور در پاسخ به افزایش ترکیبات نیتروژنی فرار، که منجر به افزایش pH نمونه ماهی می شود، به تدریج از زرد به سبز تغییر نمود [۴۳].

Shukla و همکاران (۲۰۱۶) از سنسورهای نشانگر بر پایه

Table 4 Changes in the b^* of films with pH changes

Cod (4)	Cod (3)	Cod (2)	Cod (1)	
13.67±0.25 ^{gA}	13.51±0.53 ^{cA}	16.23±0.71 ^{cCD}	2.35±0.20 ^{ef}	pH=1
11.76±0.19 ^{dB}	22.37±0.32 ^{dA}	5.24±0.46 ^{dCD}	2.20±0.11 ^{fC}	pH=2
9.28±0.34 ^{cB}	23.96±0.36 ^{eA}	-3.23±0.00 ^{eD}	2.26±0.05 ^{efC}	pH=3
8.11±0.23 ^{dB}	22.97±0.81 ^{fA}	-4.52±0.00 ^{fD}	2.32±0.05 ^{efC}	pH=4
7.52±0.35 ^{cB}	24.00±0.57 ^{fA}	-5.52±0.27 ^{gD}	2.22±0.05 ^{fC}	pH=5
6.60±0.31 ^{eB}	21.06±0.09 ^{gA}	-5.55±0.30 ^{gD}	2.62±0.09 ^{deC}	pH=6
2.28±0.50 ^{fB}	16.48±0.58 ^{hA}	-8.46±0.41 ^{hD}	2.96±0.11 ^{edC}	pH=7
-1.57±0.43 ^{hC}	9.66±0.59 ^{iA}	-9.55±0.08 ^{iD}	2.80±0.25 ^{dB}	pH=8
-1.66±0.22 ^{hD}	9.94±0.45 ^{iC}	-10.42±0.36 ^{jA}	2.94±0.37 ^{cdB}	pH=9
-13.42±0.42 ^{jC}	-1.48±0.30 ^{kB}	-21.86±0.20 ^{kD}	3.29±0.12 ^{bca}	pH=10
-14.25±0.85 ^{kC}	-4.29±0.44 ^{lB}	-22.66±1.01 ^{kD}	3.34±0.34 ^{ba}	pH=11
-12.24±0.23 ^{iC}	1.86±0.37 ^{jb}	-24.11±0.57 ^{lD}	3.74±0.29 ^{aA}	pH=12
33.12±0.67 ^{bB}	31.80±0.66 ^{bC}	36.67±0.36 ^{bA}	3.61±0.13 ^{abD}	pH=13
45.19±0.54 ^{aB}	33.75±0.22 ^{aC}	59.86±0.42 ^{aA}	3.64±0.19 ^{abD}	pH=14

Different lower case letters indicate a significant difference in the column and different uppercase letters indicate a significant difference in the row ($p<0.05$).

Cod (1): Polylactic acid film without anthocyanin, Cod (2): Polylactic acid film with anthocyanins extracted from red cabbage, Cod (3): Polylactic acid film with anthocyanins extracted from beetroot, Cod (4): Polylactic acid film with anthocyanins extracted from red cabbage and beetroot

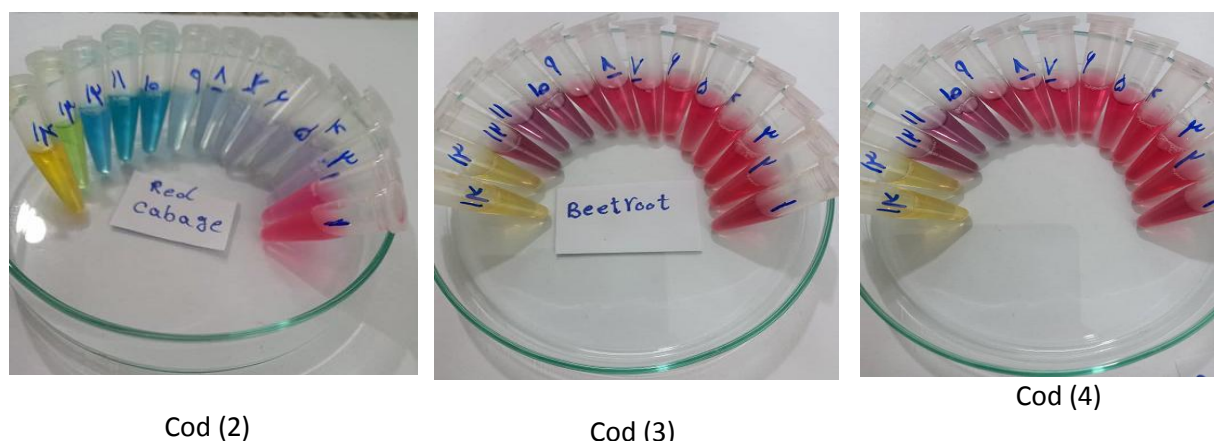


Fig 1 Visual observations of film color change at different pH.

Cod (2): Polylactic acid film with anthocyanins extracted from red cabbage, Cod (3): Polylactic acid film with anthocyanins extracted from beetroot, Cod (4): Polylactic acid film with anthocyanins extracted from red cabbage and beetroot

- application in intelligent food packaging. *Food Hydrocolloids*, 43(18), 0e188.
- [2] Pacquit, A., Frisby, J., Diamond, D., Lau, K. T., Farrell, A., Quilty, B., & Diamond, D. (2007). Development of a smart packaging for the monitoring of fish spoilage. *Food chemistry*, 102(2), 466-470.
- [3] Kalpana, S., Priyadarshini, S. R., Leena, M. M., Moses, J. A., & Anandharamakrishnan, C. (2019). Intelligent packaging: Trends and applications in food systems. *Trends in Food Science & Technology*, 93, 145-157.
- [4] Singh, S., Gaikwad, K. K., & Lee, Y. S. (2018). Anthocyanin-A natural dye for smart food packaging systems. *Korean Journal of Packaging Science & Technology*, 24(3), 167-180.
- [5] Kerry J, Butler P (eds) (2008) Smart packaging technologies for fast moving consumer goods. Wiley, Colorado
- [6] Alavi, A. Saki, Z., Azizi, H., Ghasemi, I., (2015). Morphology development to achieve electrical conductive blends based on polylactic acid/polyolefin elastomer/graphene nanoplates. *Express Polymer Letters*, 15(10).
- [7] Tsuji, H. (2014). Poly (lactic acid). Bio-based plastics: materials and applications, 171-239.
- [8] Pereira Jr, V. A., de Arruda, I. N. Q., & Stefani, R. (2015). Active chitosan/PVA films with anthocyanins from Brassica oleraceae (Red Cabbage) as Time-Temperature Indicators for application in intelligent food packaging. *Food Hydrocolloids*, 43, 180-188.
- [9] Chandrasekhar, J., Madhusudhan, M. C., & Raghavarao, K. S. M. S. (2012). Extraction of anthocyanins from red cabbage and purification using adsorption. *Food and bioproducts processing*, 90(4), 615-623.
- [10] Castañeda-Ovando, A., de Lourdes Pacheco-Hernández, M., Páez-Hernández, M. E., Rodríguez, J. A., & Galán-Vidal, C. A. (2009). Chemical studies of anthocyanins: A review. *Food chemistry*, 113(4), 859-871.
- [11] Zhang, J., Chen, L., Wang, Y., Cai, S., Yang, H., Yu, H., ... & Liu, X. (2019). VO₂ (B)/graphene composite-based symmetrical supercapacitor electrode via screen printing for intelligent packaging. *Nanomaterials*, 8(12), 1020.

۴- نتیجه گیری کلی

نتایج تحقیق حاضر نشان داد که اختلاف آماری معنی داری در ضخامت نمونه های فیلم ملاحظه نشد($p>0.05$). بالاترین حلایت متعلق به نمونه فیلم ۱ و پائین ترین میزان حلایت متعلق به نمونه ۴ بود. نتایج آزمون های مکانیکی نشان داد که بالاترین افزایش طول در شکست متعلق به نمونه های ۳ و ۴ و پائین ترین افزایش طول در شکست متعلق به نمونه ۱ بود ($p\leq0.05$). همچنین پائین ترین مقاومت به کشش و مدول یانگ متعلق به نمونه ۱ بود ($p\leq0.05$). در تمامی نمونه های فیلم به جز نمونه ۱، با افزایش pH (تا pH=14)، مؤلفه رنگی *L^a نمونه ها به طور معنی داری افزایش یافت ($p\leq0.05$). همچنین در تمامی pH های مورد بررسی، نمونه ۱ دارای بالاترین مؤلفه رنگی *L^b و نمونه ۳ دارای پائین ترین مؤلفه رنگی *L^a بود ($p\leq0.05$). مؤلفه رنگی *pH=14 در نمونه ۳، در pH=1-6، روند افزایشی و سپس تا pH=13، روند کاهشی داشت ($p\leq0.05$). در نمونه های ۲ و ۴ در pH=1-13، روند کاهشی و سپس تا pH=14 روند افزایشی ملاحظه شد ($p\leq0.05$). در نمونه ۳، تا pH=6 روند افزایشی و پس از آن تا pH=14 روند کاهشی ملاحظه شد ($p\leq0.05$). در مؤلفه رنگی *b نمونه ۲، ابتدا در pH=1-12 روند کاهشی و سپس تا pH=14 روند افزایشی ملاحظه شد ($p\leq0.05$). مؤلفه pH=1-11 در نمونه ۳ و در نمونه ۴ در pH=1-12، روند کاهشی و مجدد برای هر دو نمونه تا pH=14 روند افزایشی نشان داد ($p\leq0.05$). نمونه ۴ به دلیل ویژگی های فیزیکی مناسب و تغییرات رنگی واضح تر در pH های مختلف به عنوان تیمار برتر معرفی شد. نمونه ۴ به دلیل ویژگی های فیزیکی مناسب و تغییرات رنگی واضح تر در pH های مختلف به عنوان تیمار برتر معرفی شد و به طور کلی می توان بیان نمود که فیلم های تهیه شده به جهت حساسیت به تغییرات pH میتوانند در بسته بندی های هوشمند بکار گرفته شوند.

۵- منابع

- [1] Arruda, I. N. Q., Pereira Jr, V. A., & Stefani, R. (2015). Active chitosan/PVA films with anthocyanins from Brassica oleraceae (Red Cabbage) as Time-Temperature Indicators for

- based on a dual crosslinked polyelectrolyte. *Nature communications*, 6(1), 1-8.
- [22] Jiang, G., Hou, X., Zeng, X., Zhang, C., Wu, H., Shen, G., & Chen, A. (2020). Preparation and characterization of indicator films from carboxymethyl-cellulose/starch and purple sweet potato (*Ipomoea batatas* (L.) lam) anthocyanins for monitoring fish freshness. *International Journal of Biological Macromolecules*, 143, 359-372.
- [23] Jamshidian, M., Tehrany, E. A., Imran, M., Jacquot, M., & Desobry, S. (2010). Poly - lactic acid: production, applications, nanocomposites, and release studies. *Comprehensive reviews in food science and food safety*, 9(5), 552-571.
- [24] Ramezani, Z., Zarei, M., & Raminnejad, N. (2015). Comparing the effectiveness of chitosan and nanochitosan coatings on the quality of refrigerated silver carp fillets. *Food Control*, 51, 43-48.
- [25] Shukla, V., Kandeepan, G., Vishnuraj, M. R., & Soni, A. (2016). Anthocyanins based indicator sensor for intelligent packaging application. *Agricultural research*, 5(2), 205-209.
- [26] De Freitas, Tânia Barbedo, Santos, Carlos Henrique Koslinski, da Silva, Marcos Vieira, Shirai, Marianne Ayumi, Dias, Maria Inês, Barros, Lillian, . . . Leimann, Fernanda Vitória., 2017. Antioxidants extraction from Pinhão (*Araucaria angustifolia* (Bertol.) Kuntze) coats and application to zein films. *Food Packaging and Shelf Life*.
- [27] Erickson, Daniel P., Renzetti, Stefano, Jurgens, Albert, Campanella, Osvaldo H., Hamaker, Bruce R., 2014. Modulating state transition and mechanical properties of viscoelastic resins from maize zein through interactions with plasticizers and co-proteins. *Journal of Cereal Science*, 60(3), 576-583.
- [28] Wang, S., Marcone, M., Barbut, S., & Lim, L. T. (2012). The impact of anthocyanin - rich red raspberry extract (ARRE) on the properties of edible soy protein isolate (SPI) films. *Journal of Food Science*, 77(4), C497-C505.
- [29] Kakouri, E., Daferera, D., Paramithiotis, S., Astraka, K., Drosinos, E. H., & Polissiou, M. [12] Li, T., Hu, W., Li, J., Zhang, X., Zhu, J., & Li, X. (2012). Coating effects of tea polyphenol and rosemary extract combined with chitosan on the storage quality of large yellow croaker (*Pseudosciaena crocea*). *Food Control*, 25(1), 101-106.
- [13] Vo, T. V., Dang, T. H., & Chen, B. H. (2019). Synthesis of Intelligent pH Indicative Films from Chitosan/Poly (vinyl alcohol)/Anthocyanin Extracted from Red Cabbage. *Polymers*, 11(7), 1088.
- [14] Chen, Z., Wen, J., Huang, S., Sun, Y., Liu, X., Chen, L., ... & Zhao, P. (2023). Highly TVB-N sensitive film with CMS as the 'bridge' via electrostatic interaction and hydrogen bond self-assembly for monitoring food freshness in intelligent packaging. *Talanta*, 252, 123881.
- [15] Alizadeh-Sani, M., Mohammadian, E., Rhim, J. W., & Jafari, S. M. (2020). pH-sensitive (halochromic) smart packaging films based on natural food colorants for the monitoring of food quality and safety. *Trends in Food Science & Technology*, 105, 93-144.
- [16] Sharifi, A. Tawaklipur, H and Elhami Rad, A.H. 2007. Study of extraction methods and evaluation of barberry color stability. M.Sc. Thesis, Islamic Azad University, Sabzevar Branch
- [17] Rhim, J. W., Hong, S. I., & Ha, C. S. (2009). Tensile, water vapor barrier and antimicrobial properties of PLA/nanoclay composite films. *LWT-Food Science and Technology*, 42(2), 612-617.
- [18] Zhang, J., Zou, X., Zhai, X., Huang, X., Jiang, C., & Holmes, M. (2019). Preparation of an intelligent pH film based on biodegradable polymers and roselle anthocyanins for monitoring pork freshness. *Food chemistry*, 272, 306-312.
- [19] Van Boekel, M. A. (2008). Kinetic modeling of reactions in foods. CRC press.
- [20] Qasemlu M, Khaksar R, Mardani T, Shahnia M, Rashedi H. Preparation and evaluation of biofilm biodegradable antimicrobial packaging based on cornstarch. *Iranian Nutrition Sciences and Food Industry*. 2010; 7 (5): 115-123.
- [21] Huang, Y., Zhong, M., Huang, Y., Zhu, M., Pei, Z., Wang, Z. & Zhi, C. (2015). A self-healable and highly stretchable supercapacitor

- [38] Sun, C.; Li, Y.; Han, J.; Cao, B.; Yin, H.; Shi, Y. Enhanced photoelectrical properties of alizarin-based natural dye via structuremodulation. *Sol. Energy* 2019, 185, 315–323. [CrossRef]
- [39] Qi, X.-N.; Che, Y.-X.; Qu, W.-J.; Zhang, Y.-M.; Yao, H.; Lin, Q.; Wei, T.-B. Design and fabricating biogenic amine-responsiveplatform based on self-assembly property of phenazine derivative for visual monitoring of meat spoilage. *Sens. Actuators B Chem.* 2021, 333, 129430. [CrossRef]
- [40] Sani, M. A., Tavassoli, M., Salim, S. A., Azizi-lalabadi, M., & McClements, D. J. (2022). Development of green halochromic smart and active packaging materials: TiO₂ nanoparticle-and anthocyanin-loaded gelatin/κ-carrageenan films. *Food Hydrocolloids*, 124, 107324.
- [41] Roeck, F.; Barsan, N.; Weimar, U. Electronic nose: Current status and future trends. *Chem. Rev.* 2008, 108, 705–725. [CrossRef] [PubMed]
- [42] Kuswandi, B., Restyana, A., Abdullah, A., Heng, L. Y., & Ahmad, M. (2012). A novel colorimetric food package label for fish spoilage based on polyaniline film. *Food control*, 25(1), 184-189.
- [43] Chun, H. N., Kim, B., & Shin, H. S. (2014). Evaluation of a freshness indicator for quality of fish products during storage. *Food science and biotechnology*, 23(5), 1719-1725.
- [44] Ma, Q., Ren, Y., Gu, Z., & Wang, L. (2017). Developing an intelligent film containing *Vitis amurensis* husk extracts: The effects of pH value of the film-forming solution. *Journal of Cleaner Production*, 166, 851-859.
- [45] Majzoubi Mahsa, & Mesbahi Gholamreza. Darabzadeh Nazanin, Farhanaki Asgar, (2012) Comparison of the behavior of local Iranian carob seed gum with commercial and Katira carob seed gum in the formulation of ketchup sauce.
- [46] Erna, K. H., Felicia, W. X. L., Vonne, J. M., Rovina, K., Yin, K. W., & Nur'Aqilah, M. N. (2022). Synthesis and Physicochemical Characterization of Polymer Film-Based Anthocyanin and Starch. *Biosensors*, 12(4), 211.
- G. (2017). *Crocus sativus* L. tepals: The natural source of antioxidant and antimicrobial factors. *Journal of applied research on medicinal and aromatic plants*, 4, 66-74.
- [30] Aşık, E., & Candogân, K. (2014). Effects of chitosan coatings incorporated with garlic oil on quality characteristics of shrimp. *Journal of food quality*, 37(4), 237-246.
- [31] Roy, S., & Rhim, J. W. (2021). Fabrication of carboxymethyl cellulose/agar-based functional films hybridized with alizarin and grapefruit seed extract. *ACS Applied Bio Materials*, 4(5), 4470-4478.
- [32] Kalyoncu, F., Cetin, B., & Saglam, H. (2006). Antimicrobial activity of common madder (*Rubia tinctorum* L.). *Phytotherapy Research: An International Journal Devoted to Pharmacological and Toxicological Evaluation of Natural Product Derivatives*, 20(6), 490-492.
- [33] Ezati, P.; Rhim, J.-W. pH-responsive pectin-based multifunctional films incorporated with curcumin and sulfur nanoparticles. *Carbohydr. Polym.* 2020, 230, 115638. [CrossRef]
- [34] Cvek, M.; Paul, U.C.; Zia, J.; Mancini, G.; Sedlarik, V.; Athanassiou, A. Biodegradable films of PLA/PPC and curcumin aspackaging materials and smart indicators of food spoilage. *ACS Appl. Mater. Interfaces* 2022, 14, 14654–14667. [CrossRef]
- [35] Lee, W.-H.; Loo, C.-Y.; Bebawy, M.; Luk, F.; Mason, R.S.; Rohanizadeh, R. Curcumin and its derivatives: Their application in neuropharmacology and neuroscience in the 21st century. *Curr. Neuropharmacol.* 2013, 11, 338–378. [CrossRef]
- [36] Romero, A.; Sharp, J.L.; Dawson, P.L.; Darby, D.; Cooksey, K. Evaluation of two intelligent packaging prototypes with a ph indicator to determine spoilage of cow milk. *Food Packag. Shelf Life* 2021, 30, 100720.
- [37] Halasz, K.; Csoka, L. Black chokeberry (*Aronia melanocarpa*) pomace extract immobilized in chitosan for colorimetric ph indicator film application. *Food Packag. Shelf Life* 2018, 16, 185–193. [CrossRef].

Homepage:www.fsct.modares.ir

Scientific Research

Physical properties investigation of polylactic acid marker film with anthocyanins extracted from red cabbage and beetroot

Alizadeh, L.¹, Jahanbakhshian, N.^{2,3*}, Azizi, M. H.⁴, Mousavi Nodoshan, R.⁵, Ehsani, M.⁶

1. PhD Student, Department of Food Science and Technology, Islamic Azad University, North Tehran Branch, Tehran, Iran.

2. Assistant Professor, Department of Food Science and Technology, Islamic Azad University, North Tehran Branch, Tehran, Iran.

3. Assistant Professor, Department of Food Science and Technology, Islamic Azad University, Shahrekord Branch, Shahrekord, Iran.

4. Professor, Department of Food Science and Technology, Tarbiat Modares University, Tehran, Iran

5. Associate Professor, Department of Food Science and Technology, Islamic Azad University, North Tehran Branch, Tehran, Iran.

6 Professor, Iran Polymer and Petrochemical Research Institute, Tehran, Iran.

ABSTRACT

ARTICLE INFO

In the present study, the properties of film markers of polylactic acid and anthocyanins extracted from red cabbage and beetroot were investigated. There were four samples of: 1 (polylactic acid without anthocyanins), 2 (polylactic acid containing red cabbage anthocyanins), 3 (polylactic acid containing beet anthocyanin) and 4 (polylactic acid containing beet anthocyanin and red cabbage). The samples were tested for thickness, solubility, mechanical properties (tensile strength, elongation at break, Young's modulus) and changes in color indices were also analyzed. The results showed that there was no statistically significant difference in the thickness of the film samples ($p > 0.05$). The highest solubility belonged to the sample 1 and the lowest solubility belonged to sample 4. The results of mechanical tests showed that the highest increase in elongation at breakbelonged to samples 3 and 4 and the lowest increase in elongation at breakbelonged to sample 1 ($p \leq 0.05$). The lowest tensile strength and Young's modulus belonged to sample 1 ($p \leq 0.05$). In all the film samples except sample 1, by increasing pH (up to pH = 14), L* significantly increased ($p \leq 0.05$). In addition, in all pH ranges, sample 1 had the highest L* and sample 3 had the lowest ($p \leq 0.05$). a * in sample 3, at pH = 1-6, had an increasing trend and then decreased to pH = 14 ($p \leq 0.05$). In samples 2 and 4 at pH = 1-13, a decreasing trend was observed and then up to pH = 14 an increasing trend was observed ($p \leq 0.05$). In sample 3, up to pH = 6, an increasing trend and then up to pH = 14, a decreasing trend was observed ($p \leq 0.05$). In the b* of sample 2, first at pH = 1-12, a decreasing trend was observed and then up to pH = 14, an increasing trend was observed ($p \leq 0.05$). The b* of sample 3 at pH = 1-11, and in sample 4 at pH = 1-12, showed a decreasing trend and an increasing trend for both samples up to pH = 14 ($p \leq 0.05$). Sample 4 was introduced as the best treatment due to suitable physical properties and color changes at different pH.

Article History:

Received 2021/04/19

Accepted 2022/07/06

Keywords:

Smart film,
Polylactic acid,
Anthocyanin,
Beetroot,
Red cabbage

DOI: 10.22034/FSCT.19.132.91

DOR: 20.1001.1.20088787.1401.19.132.7.0

*Corresponding Author E-Mail:
jahanbakhshian.n@gmail.com